

tography (PGC), 2~3초 동안에 昇温되어 열분해되는 Flash pyrolysis, 热蒸發分析(TVA), 昇温熱分解-Chromatography (Mass chromatography)²⁾등 여러 가지 장치가 있다. 더우기 전자계산기와 온라인 방식을 도입시켜 精度가 높은 연구가 진행되고 있다. 또 热劣化反應은 산소의 有無에 따라 그 영향이 현저하므로 산소가 없는 상태에서의 热分解와 산소 존재 하에서의 热酸化分解로 크게 구분되고 있다.

2.1. 热分解

高分子物質의 热分解반응은 主鎖의 切斷(렌덤분해와 말단에서 monomer 단위로 떨어지는 解重合)과 側鎖反應(脫離 및 環化)으로 진행된다는 것은 열분해 생성물의 確認(identification)이나 분자량 측정등으로도 잘 이해가 되지만^{3), 4)} 최근에는 특히 立體規

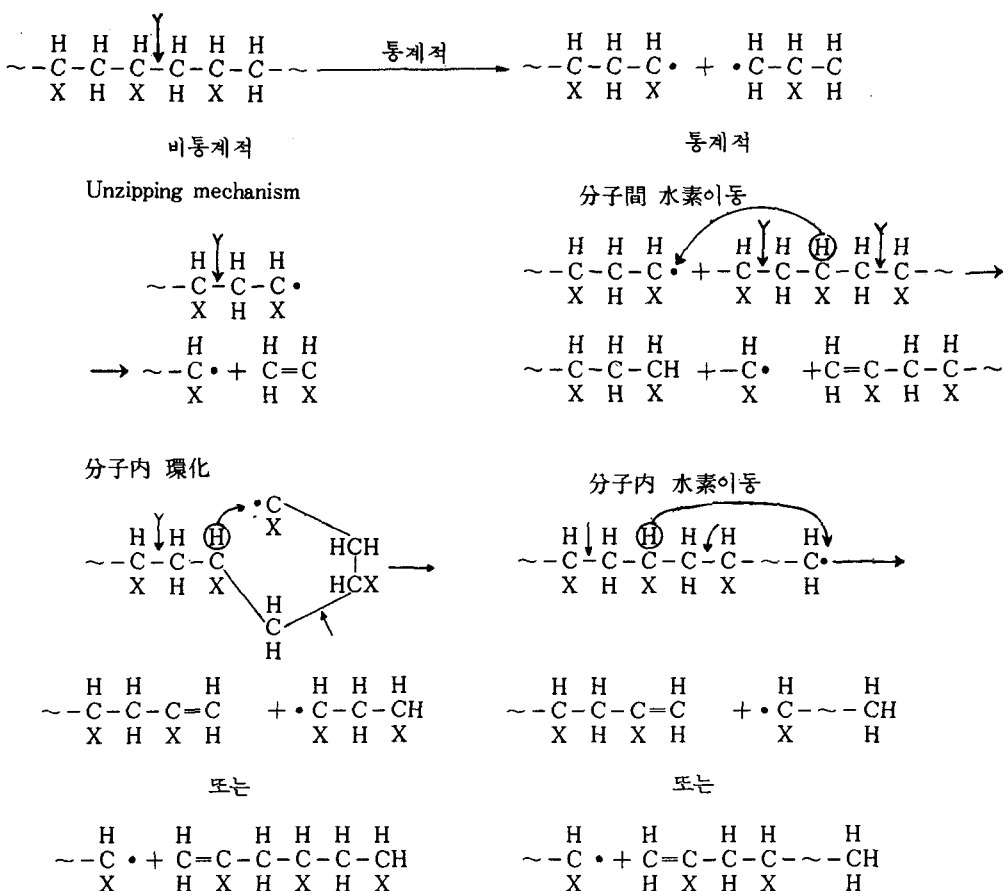
則性, 分枝구조 등 微細구조와 관련시켜 연구되고 있으며 热分解-GC를 사용하여 polymer 中의 異種結合, 官能基의 分布, 立體規則性(diad, triad의 分布) 등의 연구가 단행본으로 발행되어 있다⁵⁾

2.1.1. 폴리에틸렌(PE)

Seeger⁶⁾는 鎮狀PE와 n-alkane의 Flash pyrolysis와 水素化를 동시에 행하여 C₃₀ 까지의 fragment(斷片)를 昇温GC로 확인한바 fragment分布는 렌덤하게 분해되는 一次 통계적 절단과 二次 비통계적 절단을 합치면 잘一致된다고 했으며 Ziegler型 PE의 fragments 분포, Nc는 다음 식으로 표시된다고 보고했다.

$$Nc \sim (1 - S)^{C-1}$$

여기서 S : C-C 결합이 무질서하게 절단되는 확율



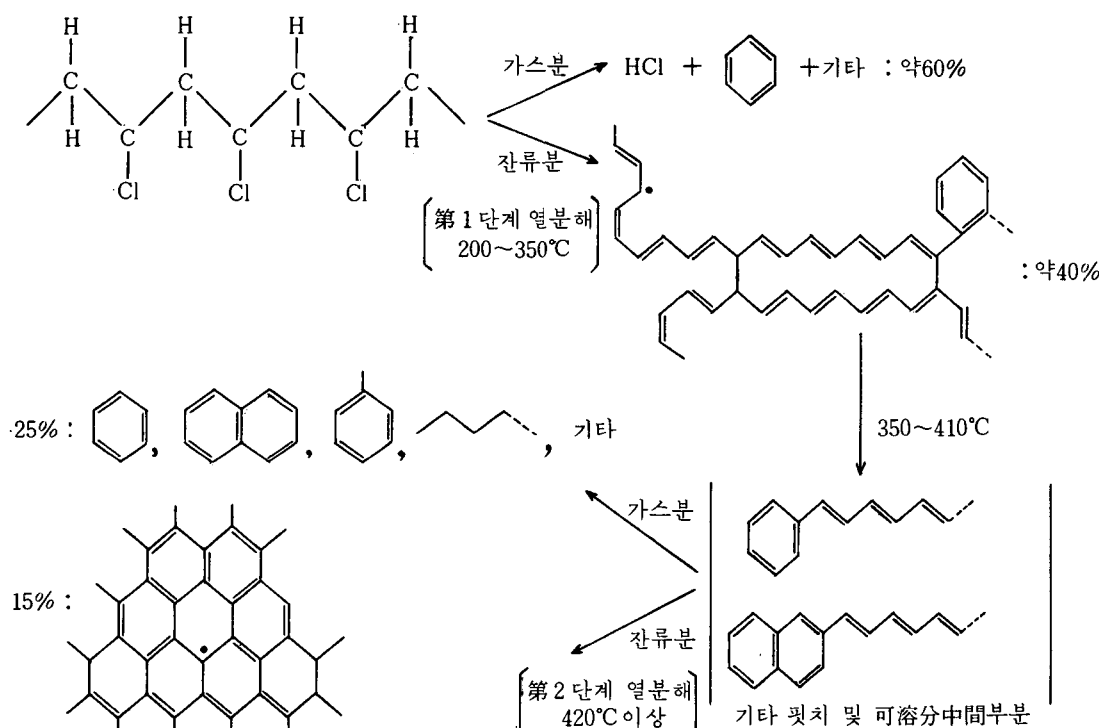
반응식 1. -CH₂-CHX- 型 비닐 중합체의 分解 메커니즘⁶⁾

또 Malhotra는 저분자량 PSt ($M_w = 1.03 \times 10^4$)의 경우 분자량과 분자량 분포는 거의 변화 없고 무게 감소(解重合) 만이 일어나지만 고분자량일 경우에는 초기단계에서 분자량의 급격한 저하가 일어나긴 하지만 무게감소는 적다고 했다. 그래서 PSt 열분해 시의 異性化반응에 대하여서는 명확하게 究明되고 있지 않다.

2.1.4. 폴리염화비닐(PVC)

PVC는 원래가 熱에 不安定할뿐 아니라 열분해시에도 독특한 側鎖反應(脫鹽化水素-環化)을 일으키므로 많은 연구가 이루어지고 있다.

下川²¹⁾은 N_2 氣流下에서 150~610°C에서의 PVC 열분해반응을 TG, DSC 및 ESR로 연구검토하여 반응식 3을 발표했다.



여기서 PVC의 열분해과정은

① 脱鹽化水素를 주체로 한 제 1 차 열분해과정 (150~350°C)

② 계속 감량이 적은 中間 열분해 영역 (350~410°C)

③ 主鎖의 절단 → 炭化에 이르는 제 2 차 열분해과정 (410~550°C 이상)의 3 과정으로 구분하였다. 또 脱 HCl 과정은 제 2 단계에서 진행되지만 150~210°C에서는 radical은 관측되지 않고 220°C에서부터 관측되지만 Cl· 및 H·의 존재는 확인되지 않았다. 또 ESR spectrum으로는 째 긴 Polyene radical의 존재가 나타난다고 했다.

Abbas²²⁾는 PVC를 N_2 氣流下에서 190°C에서 열

분해시켜 구조변화를 연구한바 主鎖의 절단은 없고 가교반응이 일어나는데 脱 HCl 反應率 0.3%에서 분자량이 증대됨을 인정하였다. 또 Polyene구조(共役 2重結合)의 生長은 分枝點과 側鎖의 chloromethyl基에 의해 정지되고 polyene구조가 길고 高脱 HCl 反應率일 때는 가교반응과 polyene生長反應(zipper의 生長)이 경쟁되기 때문에 polyene의 평균鎖長은 약 10 정도로 추정되고 있다.

Abbas²³⁾는 PVC의 脱鹽化水素반응을 상세히 검토한바 이 반응의開始點은 주로 allyl鹽素(分子內不飽和點)이고 또 3級鹽素나 不安定한 末端基의 영향을 무시할 수는 없지만 머리-머리結合, syndiotactic구조는 그다지 중요치 않다고 했다.

